

تغییرات بیان اینتگرین‌های α_4 , β_1 , α_7 , β_3 و لیگاند آن‌ها استئوپونتین در

مراحل مختلف چرخه استروس موش

فاطمه پیغمبری^۱, مژده صالح‌نیا^{۲*}, مجتبی رضازاده‌لوجردی^۳, مهدی فروزنده^۴

- ۱- دانشجوی دکتری تخصصی، گروه علوم تشریح، دانشکده علوم پزشکی، دانشگاه تربیت مدرس، تهران، ایران
۲- دانشیار، گروه علوم تشریح، دانشکده علوم پزشکی، دانشگاه تربیت مدرس، تهران، ایران
۳- استاد، گروه علوم تشریح، دانشکده علوم پزشکی، دانشگاه تربیت مدرس، تهران، ایران
۴- دانشیار، گروه بیوتکنولوژی، دانشکده علوم پزشکی، دانشگاه تربیت مدرس، تهران، ایران

پذیرش مقاله:

۸۷/۹/۵

چکیده

هدف: با توجه به اهمیت مولکول‌های اینتگرین در لانه‌گزینی و عدم اطلاعات کافی در الگوی بیان این مولکول‌ها در مراحل مختلف چرخه استروس بررسی این مولکول‌ها در اندومنتر موش طی مراحل مختلف چرخه استروس ضروری به نظر می‌رسد.

مواد و روش‌ها: حیوانات مورد مطالعه در این تحقیق موش‌های بالغ نژاد NMRI تعداد ۱۵ سر با سن ۶-۸ هفته بودند. ابتدا مراحل مختلف چرخه استروس پرواستروس، استروس، متاستروس و دیاستروس از طریق بررسی سلول‌شناسی اسمیر واژینال تعیین شد. موش‌ها به تعداد حداقل سه رأس در هر مرحله با جابه‌جایی مهره‌های گردنی کشته شده و نمونه بافتی از $\frac{1}{3}$ میانی هریک از شاخه‌ای رحمی در هر مرحله تهیه شد، سپس نمونه‌ها به دستگاه کرایواستات متنقل شده و برش‌هایی به ضخامت $-8\text{ }\mu\text{m}$ میکرون از آن‌ها تهیه شد. این لام‌ها برای مطالعات ایمونوهیستوشیمی و ارزیابی بروز اینتگرین‌های α_4 , β_1 , α_7 , β_3 و لیگاند آن‌ها استئوپونتین به کار گرفته شدند.

نتایج: مطابق بافت‌ها بیان مولکول‌های اینتگرین در اندومنتر موش تنها در مرحله متاستروس مثبت بود و در مکان‌های متفاوتی از اندومنتر بیان شد. اینتگرین α_7 تنها در پوشش غددی و اینتگرین β_3 فقط در غشای قاعده‌ای هر دو نوع پوشش خود را نشان داد در حالی که بیان α_4 برای هر دو نوع پوشش و هر دو غشاء مثبت بود. β_1 تنها اینتگرینی بود که بیان آن هم در پوشش سطحی و غددی و هم در استرومایا ملاحظه شد. استئوپونتین فقط در غشای رأسی هر دو پوشش دیده شد و در نقاط دیگر اندومنتر دیده نشد.

نتیجه‌گیری: به نظر می‌رسد که ظهور اینتگرین‌ها در اندومنتر براساس اهمیت و اولویت نقش آن در پدیده لانه‌گزینی باشد، بنابراین مولکول‌های α_4 , β_1 , α_7 و استئوپونتین که در پوشش سطحی بیان می‌شوند، می‌توانند در اتصال و چسبندگی سلول به سلول و اینتگرین‌های α_7 , β_3 و β_1 که در پوشش غددی و استرومایا بیان می‌شوند، می‌توانند در گسترش و نفوذ جنین مداخله کنند.

کلیدواژگان: اندومنتر، اینتگرین، چرخه استروس، ایمونوهیستوشیمی

* نشانی مکاتبه: تهران، دانشگاه تربیت مدرس، دانشکده علوم پزشکی، گروه علوم تشریح، صندوق پستی: ۱۴۱۱۵-۳۳۱

Email: salehnim@modares.ac.ir

برخلاف سایر موجودات بیان این مولکول‌ها در پنجره لانه‌گزینی تفاوتی با سایر زمان‌ها ندارد [۶].

برای اتصال ایнтگرین به ماتریکس خارج سلولی نیاز به لیگاندهای ویژه‌ای از جمله کلاژن IV (Collagen IV)، فیبرونکتین (Fibronectin)، لامینین (Laminin) و استئوپوتین (OPN) است [۲] و از میان آن‌ها OPN به عنوان یکی از مولکول‌های ماتریکس خارج سلولی است که در بیشتر موجودات دیده شد [۷]. OPN در سلول‌های پوششی، ترشحات لوله گوارش، کلیه، تیروئید، پستان، بیضه‌ها، لکرسیت‌ها، سلول‌های عضله صاف و برخی از سلول‌های توموری نیز دیده می‌شود [۸] در سیستم تناسلی، به وسیله سلول‌های مرحله ترشحی اندومتر، تروفوبلاست (Trophoblast) مهاجم و جفت ترشح می‌شود [۷، ۸]. در تحقیقات مشخص شده که OPN تحت تأثیر پروژسترون از پوشش غده‌ای رحم ترشح شده و لیگاند آن $\alpha v \beta 3$ در پوشش سطحی است [۹، ۱۰].

با توجه به اهمیت لانه‌گزینی جنین و نیاز به اطلاعات بیشتر برای پراکنده‌گی و نقش اینتگرین‌ها در آماده کردن رحم به خصوص در پنجره لانه‌گزینی ضرورت بررسی بیان اینتگرین‌ها و لیگاند OPN در مراحل مختلف چرخه استرووس (Estrous cycle) مدل موشی احساس می‌شد تا بتوان از اطلاعات حاصل از این تحقیق در مطالعات بعدی به منظور بررسی مداخلات هورمون‌های تخدمانی در تغییر الگوی بروز این پروتئین‌های اتصالی استفاده نمود.

۲- مواد و روش‌ها

۱-۲- نمونه‌های مورد مطالعه

در این تحقیق از موش‌های سوری ماده بالغ نژاد NMRI با سن ۶-۸ هفته در چهار گروه مربوط به مراحل مختلف چرخه استرووس شامل پرو استرووس (Proestrous)، استرووس، متاسترووس (Metestrous) و دی استرووس (Diestrous) استفاده شد و در هر گروه حداقل سه رأس موش در نظر گرفته شد.

۱- مقدمه

للاح، لانه‌گزینی و تشکیل جفت رویدادهای دینامیکی مستند که در آن‌ها ارتباطات پیچیده سلول‌ها با یکدیگر و سلول با ماتریکس (Matrix) خارج سلولی مطرح می‌شوند [۱]. اتصال ماتریکس خارج سلولی به سلول نیاز به پروتئین‌های اتصالی عرض غشاء دارد که به عنوان گیرنده عمل می‌کنند. مولکول‌های اینتگرین (Integrin) گیرنده‌های گلیکوپروتئینی عرض غشاء هستند و ساختمان هترودایمیریک (زنجیره α و زنجیره β) با اتصال غیرکووالانسی دارند و در تمام مراحل باروری، للاح، لانه‌گزینی و تکوین جفت مداخله می‌کنند [۲]. اینتگرین‌ها عملکردهای متفاوتی در انواع سلول‌ها دارند. در سلول‌هایی از جمله پوششی، اندوتیالی یا عضلانی بقای سلولی بسته به ارسال علامت (Signal) از طریق اینتگرین‌ها است، بنابراین در یک جمله می‌توان گفت اینتگرین‌ها به عنوان مبدل‌های علامتی عمل می‌کنند و مسیر پیام‌های درون سلولی متفاوتی را هنگام فعال شدن به دنبال اتصال به ماتریکس خارج سلولی، تحریک می‌کنند [۱].

بروز کلاس‌های متفاوت اینتگرین در مراحل مختلف واکنش‌های سلولی به عوامل متعددی بستگی دارد. گونه جانوری، نحوه لانه‌گزینی و ماهیت هورمون‌های جنسی از جمله عوامل تأثیرگذار روی بیان اینتگرین‌ها است [۱]. بیان اینتگرین اندومتری (Endometrial integrin) در گونه‌های مختلف متفاوت بوده و در خود یک گونه نیز در زمان‌های مختلف یک چرخه مشابه نیست. بروز این هترودایمیرهای گلیکوپروتئینی ارتباط نزدیکی با بلوغ بافتی اندومتر دارد [۳]. تحقیقات نشان داد که بروز اینتگرین‌ها در زمان لانه‌گزینی گونه‌های مختلف تابع الگوی متفاوتی است [۴] به عنوان مثال در انسان و پریمات‌ها نشان داده شده که بیان سه مولکول اینتگرینی $\alpha v \beta 3$ ، $\alpha 4 \beta 1$ و $\alpha 1 \beta 1$ طی چرخه تولیدمثلی تحت تأثیر هورمون‌های تخدمانی است و در بیماران نازا در دریچه لانه‌گزینی کاهش بیان $\alpha 1 \beta 3$ ملاحظه شد [۴، ۵]؛ اما کیمینس (Kimmens) نشان داد در مدل نشخوارکنندگان

پتری دیش مرطوب قرار گرفته و روی هر لام ابتدا چند قطره از آنتی بادی های اولیه رقیق شده به طور جداگانه قرار داده شد (رقت های مورد استفاده برای آنتی بادی های مختلف عبارت بود از αv ۱:۱۰۰، OPN ۱:۵۰، $\beta 1$ ۱:۱۰۰، $\alpha 4$ ۱:۴۰ و $\beta 3$ ۱:۵۰). سپس به مدت یک شب کلیه ظروف در یخچال (۴ درجه سانتی گراد) قرار گرفت و آنتی بادی های اضافی با PBS شسته شد. ۲-۳ قطره از آنتی بادی ثانویه کوترو گه شده با فلوروسین ایزو تیو سیانید Anti-Rabbit (Fluorescein isothiocyanate: FITC) ۱:۵۰۰ (Anti-Rat ۱:۱۵۰) روی هر لام ریخته شد و به مدت ۲ ساعت در محیط کاملاً تاریک نگه داشته شدند. بعد از طی ۲ ساعت نمونه ها دو بار با PBS شسته و با چسب بافر گلیسرون لام ها روی لام قرار داده شد سپس نمونه ها با میکروسکوپ فلورسنت ارزیابی و کنترل داخلی نیز استفاده شد.

۳- نتایج

۱-۱- تعیین چرخه استتروس

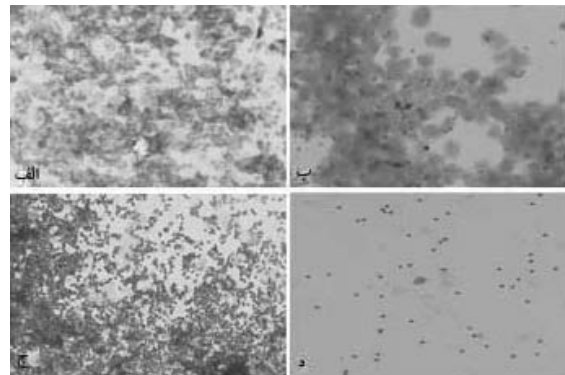
ابتدا اسمیر واژن تهیه شد و مراحل مختلف چرخه استتروس براساس نسبت سلول های موجود در اسمیر تعیین شد (شکل ۱). در مرحله پرواستتروس اکثر سلول ها، سلول های پوشش گرد و بزرگ هستند و گاهی اوقات آثاری از شاخی شدن در سلول ها دیده می شود. گاهی اوقات در این مرحله تعداد کمی لکوسیت نیز مشاهده می شود. در مرحله استتروس اکثر سلول ها از نوع سلول های پوشش شاخی هستند، سلول های مذکور به هم دیگر وصل شده و ورقه های بزرگ سلولی را تشکیل می دهند. در مرحله مت استتروس سلول های شاخی چجار بیکنوز (Pyknosis) شده و تعداد زیادی لکوسیت در اسمیر واژنی دیده می شود. در مرحله دی استتروس تعداد سلول های واژنی کم و غالباً لکوسیت هستند.

۲-۳- مشاهدات ایمونو هیستوشیمی

با استفاده از این روش بیان مولکول های اینتگرینی $\alpha 4$ ، $\beta 3$ و لیگاند OPN در کلیه مراحل چرخه استتروس ارزیابی شد. در سه مرحله پرواستتروس، استتروس و

۲-۲- تعیین مراحل چرخه استتروس

مراحل چرخه استتروس برای هر موش با بررسی اسمیر واژن تعیین شد. مراحل چرخه استتروس با توجه به نسبت سلول های موجود در اسمیر پس از رنگ آمیزی با متیلن بلو (Methylene blue) تعیین شد. هر حیوان براساس سلول شناسی اسمیر واژنی در یکی از چهار مرحله پرواستتروس، استتروس، مت استتروس و دی استتروس طبقه بندی شد (شکل ۱).



شکل ۱ سلول شناسی اسمیر واژن در مراحل مختلف از چرخه استتروس؛ الف: پرواستتروس (بزرگنمایی $\times 400$)، ب: استتروس (بزرگنمایی $\times 400$)، ج: مت استتروس (بزرگنمایی $\times 400$)، د: دی استتروس (بزرگنمایی $\times 400$)

۲-۳- تهیه نمونه

پس از تعیین مراحل چرخه استتروس در هر مرحله تعداد حداقل سه رأس موش در نظر گرفته شد، سپس موش ها به طریق جابه جایی مهره های گردانی کشته شده و یک نمونه بافتی حدود ۲ میلی متر از $\frac{1}{3}$ میانی شاخ رحمی به منظور مطالعه ایمونو هیستوشیمی (Immunohistochemistry) تهیه شد.

۲-۴- ایمونو هیستوشیمی

برای مطالعه ایمونو هیستوشیمی لام ها بعد از ثبیت شدن با پارافرمالدهید با PBS (Phosphate Buffered Saline) شسته شده و سپس به ترتیب ۳۰ دقیقه در محلول اسید کلریدریک دو نرمال، ۵ دقیقه در محلول بافر بورات و به مدت $0/5$ ساعت تحت تأثیر محلول تریتون X۱۰۰ (۱۰۰۰ لاندا بافر فسفات، ۳ لاندا تریتون، ۱۰۰ لاندا سرم بز) قرار داده شدند. سپس لام ها داخل یک

مطابق یافته‌های این تحقیق ایнтگرین αv تنها در پوشش غددی (غشای رأسی و قاعده‌ای) بیان شد و در پوشش سطحی و استرومای بیانی نداشت. اینتگرین $\beta 3$ فقط در غشای قاعده‌ای هر دو نوع پوشش خود را نشان داد و در استرومای بیان نشد. بیان $\alpha 4$ برای هر دو نوع پوشش و هر دو غشاء مثبت بود اما در استرومای دیده نشد. $\beta 1$ تنها اینتگرینی بود که بیان آن هم در پوشش سطحی و غددی (هر دو نوع غشاء) و هم در استرومای ملاحظه شد. بیان OPN فقط در غشای رأسی هر دو پوشش بود و در استرومای بیانی نداشت (شکل ۲).

۴- بحث

نتایج این تحقیق نشان داد که اینتگرین‌ها تنها در مرحله متاستتروس چرخه استتروس بیان شده و در دیگر مراحل دیده نشده است. به نظر می‌آید که با توجه به این که فولیکول‌های گراف (Graafian follicle) در اوایل مرحله استتروس به بلوغ می‌رسند و تشکیل جسم زرد در مرحله متاستتروس است این مرحله را می‌توان معادل مرحله ترشحی در سایر موجودات دانست بنابراین بالا بودن میزان هورمون پروژسترون در این مرحله می‌تواند یکی از دلایل القای بیان اینتگرین‌ها در این مرحله باشد.

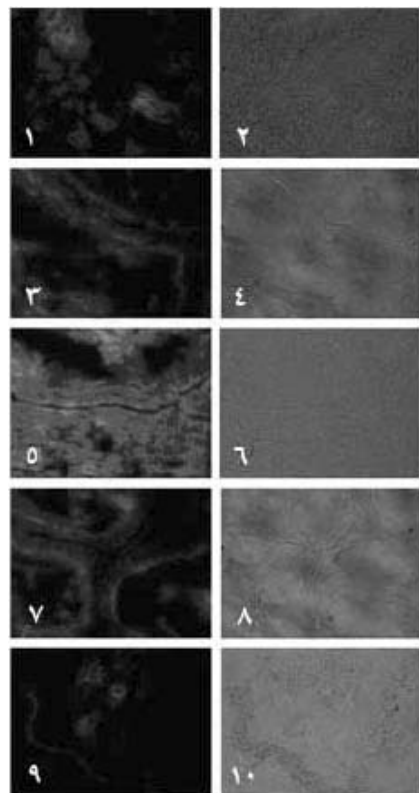
در تأیید این موضوع فضل عباس (Fazleabas) و همکارانش نشان دادند که بیان اینتگرین در رحم میمون تحت کنترل هورمون پروژسترون است [۵].

کروس (Creus) و همکارانش عنوان کردند که بیان اینتگرین $\alpha v \beta 3$ در اندومنتر انسان به بلوغ اندومنتر بستگی دارد و هورمون‌های جنسی قادرند بر این بیان اثر بگذارند [۱۱]. ون‌ولف (von Wolff) و همکارانش به این نتیجه رسیدند که در اواسط و اواخر دوره ترشح، میزان mRNA مربوط به بیان $\beta 3$ حدود ۵-۱۰ برابر می‌شود در حالی که افزایش بیان این زیر واحد اینتگرینی در مرحله تکثیر به این اندازه نبود. این خود می‌تواند بیانگر واپستگی بیان زیرگروه‌های اینتگرینی به هورمون‌های جنسی و اثر این

دیاستتروس این پاسخ منفی بود و تنها در مرحله متاستتروس مثبت بود. مکان‌های بروز این پروتئین در پوشش سطحی (غشای رأسی و قاعده‌ای)، پوشش غده‌ای (غشای رأسی و قاعده‌ای) و استرومای (Stroma) ارزیابی شد که نتایج ایمونوھیستوشیمی آن در جدول ۱ آمده است.

جدول ۱ بیان اینتگرین‌های αv , $\beta 3$, $\alpha 4$, $\beta 1$ و OPN در مرحله متاستتروس موش

استرومای	پوشش سطحی				
	غشای رأسی	غشای قاعده‌ای	غشای رأسی	قاعده‌ای	
منفی	مثبت	مثبت	منفی	منفی	αv
منفی	منفی	مثبت	منفی	مثبت	$\beta 3$
منفی	منفی	مثبت	مثبت	مثبت	$\alpha 4$
منفی	منفی	مثبت	مثبت	مثبت	$\beta 1$
منفی	منفی	مثبت	منفی	مثبت	OPN



شکل ۲ ایمونوھیستوشیمی اینتگرین‌های αv , $\beta 3$, $\alpha 4$, $\beta 1$ و لیگاند آن‌ها OPN (۱۰)، در مقاطع عرضی بافت اندومنتر موش و در مرحله متاستتروس از چرخه استتروس (بزرگنمایی $\times 400$)، لازم به ذکر است که ستون اول مشاهدات با میکروسکوپ فلوروسنت و ستون دوم تصاویر مرحله کنتراست همان برش‌ها در ستون مقابل است.

رویان‌های بعد از بلاستوسیست انسانی نشان داده و $\alpha v\beta 3$ را به عنوان یک گیرنده در سطح تروفوبلاست‌های ابتدایی معرفی کردند [۱۳].

باساک (Basak) و کین (Qin) نیز مشخص کردند که زیرواحدات $\alpha 1, \alpha 2, \alpha 4, \alpha 5, \alpha 6, \alpha v$ و $\beta 1, \beta 3$ در سلول‌های تروفوبلاست جنینی قبل از جایگزینی بروز می‌کنند [۱۴، ۱۵].

از آنجایی که در بین لیگاند‌های ایتگرینی، OPN قادر به برقراری ارتباط با اکثر ایتگرین‌ها است، نسبت به سایر پروتئین‌ها از اهمیت بیشتری در لانه‌گزینی برخوردار است و نتایج نشان داد که OPN تنها در مرحله متاستروس چرخه استروس و آن هم فقط در غشای رأسی هر دو پوشش سطحی و غده‌ای بیان شد. با توجه به تعریفی که قبلاً از این مرحله شد، می‌توان گفت که بیان این لیگاند می‌تواند تحت تأثیر هورمون‌های جنسی به خصوص پروژسترون باشد؛ از طرفی با توجه به این که جنین در دریچه لانه‌گزینی طیف وسیعی از ایتگرین‌ها را در سطح خود بیان می‌کند که فنوتیپ آن‌ها دائماً در حال تغییر است. حضور OPN آن هم در غشای رأسی هر دو پوشش سطحی و غده‌ای بیانگر واکنش ایتگرین‌های متعدد توسط این لیگاند و نقش این ماتریکس خارج سلولی در مراحل اولیه لانه‌گزینی جنین است.

ونولف و همکارانش به مطالعه OPN رحمی به عنوان یک لیگاند برای ایتگرین‌ها در انسان پرداخته و نشان دادند تجمع پروتئین OPN موجود در رحم در مرحله تکثیر کم و در مرحله ترشح به سه تا چهار برابر اندازه آن در مرحله تکثیر می‌رسد. این خود می‌تواند بیانگر واپستگی بیان این پروتئین به هورمون‌های جنسی و اثر این هورمون‌ها بر لیگاند ایتگرین‌ها در رحم باشد [۱۶].

هیرک (Hierck) و همکارانش بیان داشتند که تغییرات فنوتیپی ایتگرین‌ها در سطح سایتوتروفوبلاست $\alpha 6$ (Cytotrophoblast) به عنوان مثال تغییر از بیان ایتگرین $\alpha 1$ منجر به ارتباط بیشتر آن‌ها با لامینین شده و این امر بر حرکت سلول‌ها در پاسخ به لیگاند مربوط و در نتیجه

هورمون‌ها بر اندومنتر رحم باشد [۱۲].

توموس (Thomus) و همکارانش دریافتند که بیان ایتگرین‌ها در اندومنتر طی چرخه جنسی در حال تغییر است و در افراد نابارور الگوهای غیرعادی از بروز ایتگرین در رحم دیده می‌شود [۴].

همچنین بخش دیگری از نتایج این تحقیق نشان داد که از نظر مکان بروز، ایتگرین‌های مختلف در مرحله متاستروس تفاوت دارند. ایتگرین αv تنها در پوشش غددی، ایتگرین $\beta 3$ فقط در غشای قاعده‌ای هر دو نوع پوشش و بیان $\alpha 4$ برای هر دو نوع پوشش و هر دو غشاء دیده شد. $\beta 1$ تنها ایتگرینی بود که بیان آن هم در پوشش سطحی و غددی و هم در استرومای دیده شد. یافته‌های این تحقیق نشان می‌دهد که مکان‌های متفاوتی از بیان ایتگرین‌ها در اندومنتر قابل ملاحظه است که اختلاف در این مکان‌ها نشانه اهمیت و اولویت مولکول در پدیده لانه‌گزینی است.

به نظر می‌رسد مولکول‌هایی که در پوشش سطحی این مرحله بیان شدند از جمله $\alpha 4, \beta 1$ و OPN، اغلب در اتصال و چسبندگی جنین به اندومنتر و ایتگرین‌هایی که در پوشش غددی و استرومای بیان شدند $\alpha v, \beta 3$ و $\beta 1$ در گسترش و نفوذ جنین به این بافت مداخله می‌کنند.

بنابراین لازمه انجام پدیده لانه‌گزینی تغییرات فنوتیپی ایتگرین‌ها در سطح اندومنتر و سلول‌های جنینی است. بدین ترتیب که در زمان نزدیک به لانه‌گزینی اغلب ایتگرین‌های مداخله کننده در اتصال سلول به سلول (برای چسبندگی بیشتر) و در مرحله نفوذپذیری جنین ایتگرین‌های مداخله کننده در اتصالات سلول به ماتریکس خارج سلولی (برای نفوذپذیری بیشتر) مطرح می‌شود.

با توجه به بیان زیرواحدات ایتگرینی متفاوت در سطح بلاستوسیست‌ها (Blastocysts) و تروفوبلاست‌های جنینی یا به عبارت دیگر تغییرات فنوتیپی ایتگرین‌ها، حضور لیگاندی در سطح مادری که قادر به شناخت طیف وسیعی از این گیرندها باشد کاملاً ضروری است.

بلور (Bloor) و همکارانش بیان $\alpha 2, \alpha 3, \alpha v$ را در

نفوذپذیری بیشتر مؤثر است [۱۶].

بنابراین براساس یافته‌های این تحقیق به‌نظر می‌رسد که بیان ایнтگرین‌ها و لیگاند آن‌ها OPN فقط در مرحله متاسترووس از چرخه استرووس مدل موشی است. این بیان در سطح رحمی می‌تواند تحت تأثیر هورمون پروژسترون و علائم جنینی در پنجره لانه‌گزینی باشد و به‌نظر می‌رسد تفاوت در مکان بیان اینتگرین‌ها و لیگاند آن‌ها نشان‌دهنده اهمیت‌شان در پدیده لانه‌گزینی است.

۵- تشکر و قدردانی

تحقیق حاضر در گروه علوم تشریع دانشکده پزشکی دانشگاه تربیت مدرس انجام شده است؛ بنابراین نویسنده‌گان مقاله بر خود لازم می‌دانند از زحمات کارشناسان آزمایشگاه این گروه جناب آقای پوربیراوند و سرکار خانم ابراهیمی که در تهیه نمونه‌ها و عکس‌برداری ما را یاری نموده‌اند تشکر و قدردانی شود.

۶- منابع

- [1] Jeffery AB, Joan SH. The role of integrins in reproduction. *Biol Med* 2000; 223(4): 331-43.
- [2] Tabibzadeh S. Patterns of expression integrin molecules in human endometrium throughout the menstrual cycle. *Hum Reprod* 1992; 7(6): 876-82.
- [3] Lessey BA, Ilesanmi AO, Lessey MA, Riben M, Harris JE, Chwalisz K. Luminal and glandular endometrial epithelium express integrins differentially throughout the menstrual cycle. *J Reprod* 1996; 35(3): 195-204.
- [4] Thomas K, Thomson AJ, Sephton V, Cowan C, Wood S, Vince G, Kingsland CR, Lewis-Jones DI. The effect of gonadotrophic stimulation on integrin expression in the endometrium. *Hum Reprod* 2002; 17(1): 63-8.
- [5] Fazleabas AT, Bell SC, Flemming A, Sun J, Lessey BA. Distribution of integrins and the extracellular matrix proteins in the baboon endometrium during the menstrual cycle and early pregnancy. *Biol Reprod* 1997; 56(2): 348-56.
- [6] Kimmens S, Lim HC, Maclare LA. Immunohistochemical localization of integrin alpha v beta 3 and osteopontin suggests that they do not interact during embryo implantation in ruminants. *Reprod Biol Endocrinol* 2004; 2: 19-33.
- [7] Brown LF, Berse B, Van de Water L, Papadopoulos-Sergiou A, Perruzzi CA, Manseau EJ, Dvorak HF, Senger DR. Expression and distribution of osteopontin in human tissue: wide spread association with luminal epithelial surfaces. *Mol Biol Cell* 1992; 3(10): 1169-80.
- [8] Kreiss T, Vale R. Guidebook to the extracellular matrix and adhesion proteins. Oxford, England, Oxford Univ Press, 1993; p: 76-9.
- [9] Johnson GA, Burghardt RC, Spencer TE, Newton GR, Ott TL, Bazer FW. Ovine osteopontin: II. Osteopontin and alpha(v)beta(3) integrin expression in the uterus and conceptus during the periimplantation period. *Biol Reprod* 1999; 61(4): 892-9.
- [10] Johnson GA, Spencer TE, Burghardt RC, Bazer FW. Ovine osteopontin: I. Cloning and expression of messenger ribonucleic acid in the uterus during the periimplantation period. *Biol Reprod* 1999; 61(4): 884-91.
- [11] Creus M, Balasch J, Ordi J, Fábregues F,

- Casamitjana R, Quinto L, Coutifaris C, Vanrell JA. Integrin expression in normal and out-of-phase endometria. *Hum Reprod* 1998; 13(12): 3460-8.
- [12] von Wolff M, Strowitzki T, Becker V, Zepf C, Tabibzadeh S, Thaler CJ. Endometrial osteopontin, a ligand of beta3-integrin, is maximally expressed around the time of the "implantation window". *Fertil Steril* 2001; 76(4): 775-81.
- [13] Bloor DJ, Metcalfe AD, Rutherford A, Brison DR, Kimber SJ. Expression of cell adhesion molecules during human preimplantation embryo development. *Mol Hum Reprod* 2002; 8(3): 237-45.
- [14] Basak S, Dhar R, Das C. Steroids modulate the expression of a4 integrin in mouse blastocysts and uterus during implantation. *Biol Reprod* 2002; 66(6): 1784-9.
- [15] Qin L, Wang YL, Bai SX, Xiao ZJ, Herva R, Piao YS. Expression of integrins and extracellular matrix proteins at the maternal-fetal interface during tubal implantation. *Reprod* 2003; 126(3): 383-91.
- [16] Hierck BP, Thorsteinsdóttir S, Niessen CM, Freund E, Iperen LV, Feyen A, Hogervorst F, Poelmann RE, Mummery CL, Sonnenberg A. Variants of the alpha 6 beta 1 laminin receptor in early murine development: distribution, molecular cloning and chromosomal localization of the mouse integrin alpha 6 subunit. *Cell Adhesion Commun* 1993; 1(1): 33-53.

